

برآورد خطر فرسایش کناره ای رودخانه طالقان با استفاده از مدل BEHI

کاظم نصرتی^{*}، میلاد رستمی^۲، محمود آذرپارکیوی^۳

۱. دانشیار گروه جغرافیای طبیعی، دانشکده علوم زمین، دانشگاه شهید بهشتی

۲. دانشجوی دکتری گروه جغرافیای طبیعی، دانشکده علوم زمین، دانشگاه شهید بهشتی

۳. دانشجوی کارشناسی ارشد گروه جغرافیای طبیعی، دانشکده علوم زمین، دانشگاه شهید بهشتی

چکیده

رودخانه فراهم کننده آب و انرژی برای طبیعت و انسان است و می توان گفت تأمین آب مهمترین نقش اقتصادی رودخانه است. پدیده فرسایش و انتقال رسوب از جمله فرآیندهای هیدرودینامیکی مهمی است که بسیاری از سیستم های هیدرولیکی نظریه های آبریز، رودخانه ها، سواحل و بنادر، سدها، پل ها، جاده ها، کشتزارها و تأسیسات عمرانی را متأثر می سازد. رودخانه طالقان یکی از رودخانه های مهم دامنه جنوبی البرز می باشد. این رودخانه متأثر از عوامل مختلفی چون زمین شناسی، شیب، کاربری اراضی، شرایط هیدرولیکی جریان و رفتار مورفولوژیکی پویایی دارد. هدف این پژوهش بررسی وضعیت پایداری کناره رودخانه طالقان با استفاده از مدل های ریاضی و آماری و مقایسه نتایج آن با مشاهدات میدانی است. برای رسیدن به این هدف در این پژوهش با استفاده از روش BEHI و تحلیل آماری واریانس یک طرفه (ANOVA) استفاده شده و سپس با مشاهده های میدانی و بصری مقایسه شده است. نتایج نشان داد که خطر فرسایش کناره در مقاطع بالادست با توجه به امتیازدهی متوسط و زیاد می باشد و در مقاطع پایین دست میزان خطر فرسایش کناره ای زیاد و خیلی زیاد می باشد. و با توجه به نتایج به دست آمده از تحلیل واریانس یک طرفه (ANOVA) میزان تاثیرگذاری شیب و دبی بالاتر از بقیه پارامترها بوده و پارامترهای معنی دار در این تحلیل شامل عمق متوسط، دبی لبالبی، ارتفاع کناره، دبی و شیب می باشد. با توجه به نتایج به دست آمده کناره های فرسایش پذیر شناسایی شدند.

وازگان کلیدی: فرسایش کناره ای، رودخانه طالقان، مدل BEHI، واریانس یک طرفه.

مقدمه

تغییرات کanal رودخانه مانند فرسایش کناره ای و رسوب گذاری کناره ای فرایند های طبیعی رودخانه هستند که باعث تخریب زمین های کشاورزی اطراف رودخانه و خسارت به تاسیسات انسانی و راه ها می شود. (گریگوری^۱، ۲۰۰۶) فرسایش کناره رود یکی از علل عدمه آلدگی غیر نقطه ای منابع آب و افزایش بار رسوب در بسیاری از رودخانه ها است (ویلسون^۲، ۲۰۰۸؛ راسگن^۳، ۲۰۰۱). روشهای متفاوتی برای بررسی فرسایش کناره ای وجود دارد که یکی از آنها روش راسگن می باشد براساس روش راسگن، خصوصیات ریخت شناسی رودخانه ها در چهار سطح مختلف مورد بررسی قرار می گیرد و به ترتیب از سطح یک که شناخت مشخصات کلی و بر مبنای تجزیه سطحی است تا سطح چهار که ارزیابی بسیار دقیق و با جزئیات کامل از ویژگی های ریخت شناسی رودخانه ارائه می دهد انجام می شود. در سراسر دنیا محققان زیادی به بررسی وضعیت فرسایش و رسوب کناره ای رودخانه و اهمیت آن در حفاظت از خطوط ساحلی پرداخته اند از جمله فولر^۴ و همکاران (۲۰۰۳)، برتولدی^۵ و همکاران (۲۰۰۲)، جورج^۶ و همکاران (۲۰۰۶) و گرین بام^۷ (۲۰۰۷) از جمله کسانی هستند که به بررسی مسائل فرسایش کناره ای رودخانه پرداخته اند. برای پیش بینی میزان فرسایش کناره رودخانه از روش ارزیابی کناره برای پیامد منبع غیر نقطه ای رسوب BANCS^۸ استفاده می شود که توسط راسگن (۲۰۰۱) ارائه شده و برای محاسبه آن، دو روش تخمین فرسایش پذیری کناره (سطح III طبقه بندی راسگن) استفاده می شود: ۱- شاخص خطر فرسایش کناره BEHI^۹ ۲- تنش برشی نزدیک کناره^{۱۰}. NBS. در رابطه مدل راسگن پژوهش هایی در داخل و خارج از کشور صورت گرفته است که در ادامه به تعدادی از آنها می پردازیم:

کوان و سوانسن^{۱۱} (۲۰۱۴) به پیش بینی فرسایش سالانه کرانه رودخانه با استفاده از شاخص خطر فرسایش کرانه BEHI و روش تنش برشی نزدیک کرانه NBS برای جنگل ملیسکوایا در کالیفرنیا پرداخته اند. کوریت^{۱۲} (۲۰۱۴) به تحلیل و ارزیابی کanal با روش پیامدهای منبع غیر نقطه ای رسوب BANCS برای پیش بینی فرسایش و پایداری کرانه رودخانه در استونی کلوو کریکدر کت اسکیلز پرداخته است. قوش و همکاران^{۱۳} (۲۰۱۶) در مقاله ای تحت عنوان اعتبار سنجی مدل BANCS برای ارزیابی پتانسیل خطر بروز فرسایش آبراهه SBEHP در رودخانه باکرشور منطقه رخش شرق هند، به بررسی فرسایش کناره ای با استفاده از سه روش BEHI، SBEHP و NBS پرداخته اند. روش کار به این صورت بوده که با استفاده از مطالعات میدانی فرسایش کناری^{۱۴} مقطع در یک دوره ۵ ساله به طول ۸۶/۳۶ کیلومتر از رودخانه باکرشور در شرق هندستان مورد بررسی قرار گرفت. نتایج نشان می دهد که مدل BEHI و NBS

¹ Gregory

² Wilson

³ Rosgen

⁴ Fuller

⁵ Bartholdy

⁶ Jorge

⁷ Greenbaum

⁸ Bank assessment for non-point source consequences of sediment

⁹ Bank erosion hazard index

¹⁰ Near bank stress

¹¹ Kwan & Swanson

¹² Coryat

¹³ Ghosh et al

به طور بالقوه از قابلیت پایینی در پیش‌بینی خطر فرسایش برخوردار است. بیگام^۱ (۲۰۱۶) در پژوهشی تحت عنوان ارزیابی و کاربرد بررسی کناره‌ها در تشخیص منبع غیر نقطه‌ای رسوبات BANCS و کاربرد مدل در پیش‌بینی میزان فرسایش سالیانه کناره رودخانه‌ی ارکانساس کوچک در جنوب غربی کانزاس را مورد مطالعه قرار داد. فاطمی عقدا و همکاران (۱۳۸۰) در پژوهشی تخمین و ارزیابی فرسایش کناره ای با استفاده از عکس‌های هوایی، نمونه برداری از رسوبات بستر رودخانه‌ها و انجام کارهای آزمایشگاهی و قرار دادن داده‌ها در مدل‌های ارزیابی فرسایش کناره ای را انجام داده‌اند. روستایی و همکاران (۱۳۹۲) مورفولوژی مجرای رودخانه لیقوان را با استفاده از روش طبقه‌بندی راسگن در سطح دو مورد ارزیابی قرار دادند. حسین زاده و همکاران (۱۳۹۶) در پژوهشی به مقایسه و ارزیابی نتایج مدل NBS و BEHI در فرسایش کناره‌ای رودخانه قرانقو چای هشت‌ترود پرداخته است. حسین زاده و همکاران (۱۳۹۶) در پژوهشی به مقایسه روش‌های برآورد خطر فرسایش کرانه ای با استفاده از مدل NBS پرداخته‌اند. اصغری سراسکان‌رود و زینالی (۱۳۹۲) به بررسی مقاومت ذرات رسوبی در برابر فرسایش رودخانه سراسکند چای هشت‌ترود پرداخته‌اند. خالقی و ملکان (۱۳۹۴) در پژوهشی به برآورد فرسایش کرانه رودخانه لیقوانچای با استفاده از شاخص تنش برشی نزدیک کرانه راسگن پرداخته‌اند. نصرتی و همکاران (۱۳۹۷) در پژوهشی به بررسی فرسایش کناره ای رودخانه طالقان با استفاده از مدل NBS پرداخته‌اند. نتایج نشان داد که در شاخص نسبت شعاع انحنا به عرض دی‌یی لبالبی، میزان فرسایش‌پذیری کرانه در اکثر مقاطع نسبت به دو شاخص نسبت حداکثر عمق نزدیک کرانه به متوسط عمق دی‌یی لبالبی و نسبت تنش برشی نزدیک کرانه به تنش برشی دی‌یی لبالبی، با مشاهدات میدانی بیشترین تطابق را دارد.

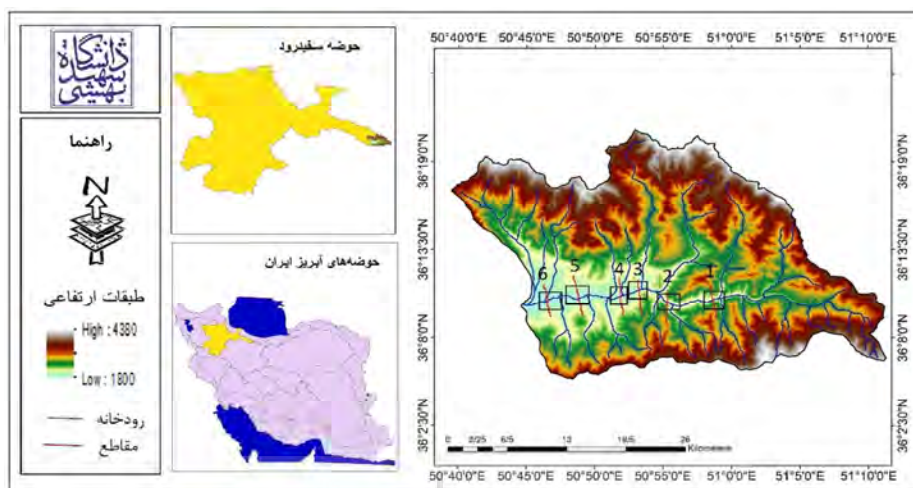
که در این پژوهش با توجه به شرایط رودخانه طالقان و هدف پژوهش که بررسی خطر فرسایش کناره در این رودخانه می‌باشد از روش شاخص خطر فرسایش کناره استفاده شده است.

داده‌ها و روش‌ها

منطقه مورد مطالعه

منطقه مورد مطالعه شامل حوضه آبریز بالادست سد طالقان با وسعت حدود ۹۴۰ کیلومتر مربع، با طول تقریبی ۵۰ کیلومتر و عرض بین ۲۰ تا ۳۰ کیلومتر و ارتفاع متوسط وزنی ۲۷۳۵ متر بوده و از نظر مختصات جغرافیایی در محدوده "۴۰°۰'۰" تا "۵°۳۶'۲۱" عرض شمالی و "۳۶°۴۰'۰" تا "۳۶°۵۰'۱۶" طول شرقی قرار دارد. رودخانه طالقان حدود ۱۸۰ کیلومتر طول دارد و در سال ۱۳۸۵ سد مخزنی چند منظوره طالقان بر روی این رود احداث شده است. در این پژوهش بالادست سد طالقان از روستای مرجان تا سد طالقان به طول ۱۲ کیلومتر مورد مطالعه قرار می‌گیرد که موقعیت جغرافیایی این حوضه در شکل ۱ آمده است.

^۱ Bigham



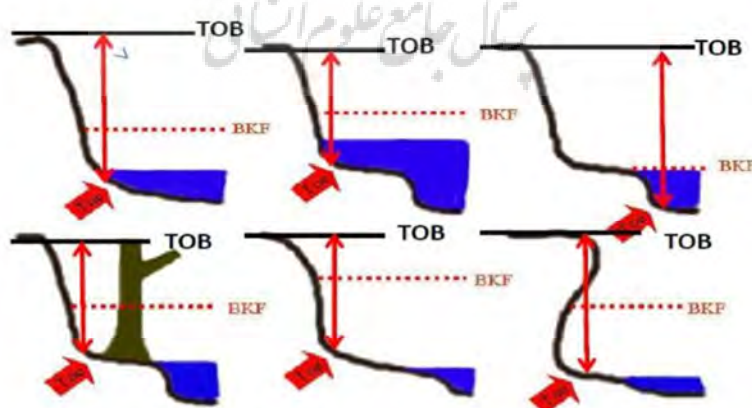
شکل ۱: منطقه مورد مطالعه

روش کار:

جهت ارزیابی پتانسیل فرسایش پذیری کناره رودخانه طالقان ابتدا بر روی نقشه ۶ بازه با توجه به امکان دسترسی، میزان فرسایش و تفاوت در ریخت و الگوی رودخانه انتخاب شد. سپس جهت اندازه گیری پارامتر های مورد نظر در مدل BEHI که شامل ۱.ارتفاع کناره ۲.ارتفاع مقطع پر ۳.عمق ریشه ۴.تراکم ریشه ۵.زاویه کناره ۶.درصد محافظت کناره ۷.ترکیب کناره ۸.ساختار مواد کناره است اقدام به نمونه گیری و نقشه برداری پارامتر های مورد نظر در رودخانه طالقان گردید. نحوه اندازه گیری هر کدام از پارامتر ها به روش هایی که در ادامه می آید می باشد.

مطالعه و بررسی ارتفاع کناره

محل اندازه گیری ارتفاع کناره در دبی لبالبی، پای کناره تا قسمت پر کناره اندازه گیری می شود. همچنین پای کناره در اندازه گیری کناره پر یا بالا در بیرون از آب قرار می گیرد(شکل ۲).



شکل ۲: نحوه اندازه گیری ارتفاع کناره

اندازه گیری عرض مقطع دبی لبالبی

باتوجه به آثار کناره رودخانه از جمله: زیر بری رودخانه، تغییرات جنس در کرانه رودخانه، باتوجه به آثار خزه ها و گلسنگ ها، تغییرات رنگ سنگ ها و در محل هایی که دشت سیلابی داریم لبی دشت سیلابی دبی لبالبی یا عرض مقطع پر مشخص می شود. که می توان با استفاده از شاخص نقشه برداری و دوربین تودیلت آن را اندازه گیری کرد(شکل ۳).



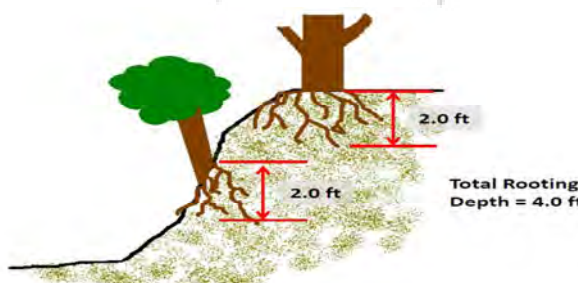
شکل ۳: نمایی از اندازه گیری دبی لبالبی (لولر^۱ ۲۰۰۴)

اندازه گیری عمق

برای مشخص نمودن متوسط عمق با استفاده از شاخص نقشه برداری در نقاط مختلف از مقطع پر عمق اندازه گیری می شود که میانگین عمقهای هر مقطع به عنوان عمق متوسط در نظر گرفته می شود.

میزان عمق ریشه

اندازه گیری عمق ریشه در ارتباط با بالای ارتفاع کناره می باشد. در بالای کناره از محلی که خاک زده شده و کنار رفته عمق ریشه قابل اندازه گیری است. اگر کناره بالا در دسترس نیست مناطقی را که ریشه در معرض دید قرار دارد جست و جو می شود، همچنین در جاهایی که ریشه های درخت یا درختان در پایین کناره گستردگی دارد، گستردگی ریشه ها، عمق ریشه است. و در مقاطعی از رودخانه که ریشه ها در دو ارتفاع متفاوت از کناره رودخانه در یک محل گستردگی دارند، مجموع ارتفاع این دو تراکم ریشه مجموعاً بیانگر عمق ریشه خواهد بود. در این پارامتر بالاترین میزان عمق ریشه کمترین ریسک و خطر فرسایش را نشان می دهد. این عامل(عمق ریشه) بسیار متغیر است و به نوع نشو و نمو گیاهی، وضعیت و شرایط خاک، آشنایی با رشد سالانه و تغییر شرایط فصلی بستگی دارد(شکل ۴).



شکل ۴: اندازه گیری عمق ریشه

¹ lowler

امتیاز دهی به تراکم ریشه

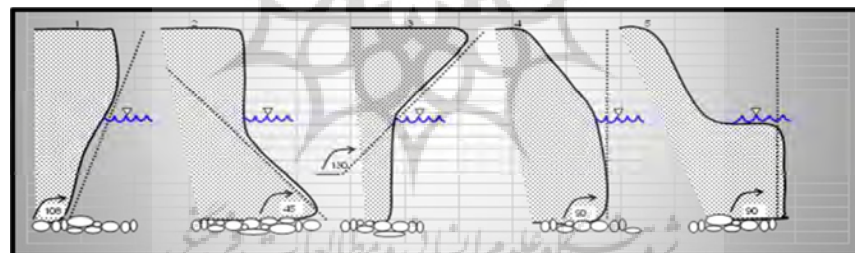
امتیاز دهی و مشخص کردن تراکم ریشه به عمق ریشه با روش ارزیابی بصری مورد بررسی قرار می گیرد که به درصد خاک ترکیب شده با ریشه، عمق ریشه و میزان گستردگی آن در حجم مشخصی از خاک بستگی دارد(شکل ۵).



شکل ۵: نحوه محاسبه تراکم ریشه

زاویه کناره

از پارامتر های مورد استفاده برای تعیین خطر تخریب کناره می باشد که با استفاده از شبی سنج دیجیتالی اندازه گیری می شود (شکل ۶).



شکل ۶: محل اندازه گیری زاویه کناره

اندازه گیری سطح محافظ

برای مشخص و تعیین نمودن پهنه هایی در طول کناره که محافظت سطحی می شوند می توان از تعیین درصد سطح محافظت شده از کل ارتفاع کناره و یا می توان از همان روش هایی که برای تراکم ریشه به کار برده می شود را استفاده کرد. زمانی که کناره ها دارای پوشش گیاهی، درختچه ها و درختان هستند درصدی از کناره که توسط پهنه ریشه تحت تأثیر قرار گرفته است را اندازه گیری می کنند.

تعیین مواد کناره

برای تعیین مواد کناره ابتدا از کناره ها نمونه برداری شده و به آزمایشگاه انتقال داده می شود. در آزمایشگاه آزمایش گرانولومتری انجام می شود سپس ترکیب و مقاومت آن، فرسایش پذیر بودن، نوع خاک، بالاترین درجه حساسیت به فرسایش، تعیین ترکیبات عمومی کناره، تنظیم نمره و در نهایت امتیاز BEHI مشخص می شود (جدول ۱)

جدول ۱: تعیین و مطابقت مواد کناره

مواد کناره	تنظیم رتبه BEHI
سنگ بستر	BEHI برای کناره های سنگ بستری پتانسیل بسیار کمی بری فرسایش در نظر می گیرد
تخته سنگ	BEHI برای کناره هایی که تخته سنگ هستند پتانسیل کمی برای فرسایش در نظر می گیرد
قلوه سنگ	۱۰ امتیاز کم می شود، اگرپوششی از قلوه سنگ های بزرگ تا متوسط باشد اگر ریگ و ماسه بدون نظم بالاتر از ۵۰ درصد ساختار کناره را اشغال کرده باشد
ماسه، سیلت و رس لومی	۵ امتیاز افزوده می شود اگر ساختار کناره ۷۰-تا ۵۰ درصد ماسه باشد
ریگ یا سنگ ریزه	اضافه کردن ۵-۱۰ امتیاز بستگی به درصدی از مواد کناره که شن باشد
ماسه	اضافه کردن ۱۰ امتیاز اگر شن و ماسه بیش از ۷۵ درصد کناره را شامل شده باشد و در معرض فرآیندهای فرسایشی باشد
رس و سیلت	کم کردن بیش از ۲۰ امتیاز بسته به این که چه درصدی از ساختار کناره از رس تشکیل شده است

تعیین شاخص برای طبقه بندی

مشخصه های افق های ناپایدار خاک در معرض فرسایش در ارتباط با طبقه کناره فرآیند های در نظر گرفته شده عبارتند از: لغزش کناره ای، تخریب چرخشی، خاک منفذی، بخش زدگی و گداختگی (بخ و ذوب)، مشاهده پروفیل و افق خاک کناره مشاهده زونی که آب در آن متتمرکز شده، تخریب چرخشی، خاک منفذی، ارزیابی ثبت و ثابت بودن افق های خاک کناره.

شاخص خطر فرسایش کناره (BEHI)

شاخص خطر فرسایش کناره یک فرآیند یکپارچه ای است، جهت ارزیابی آسیب پذیری و فرسایش کناره با استفاده از متغیر های شناخته شده که نرخ فرسایش را تحت تأثیر قرار می دهد.

BEHI چندین متغیر را به واسطه ارزیابی های بصری مطرح می کند، که نسبت و میزان فرسایش کناره ای را در مناطق مستعد فرسایش نشان می دهد.

هفت متغیر جهت ارزیابی وجود دارد و فرآیند نمره دهی به این هفت پارامتر قابل اندازه گیری بر مبنای ۱ تا ۱۰ می باشد، عدد ۱ حساسیت کم و استعداد کم به فرسایش و عدد ۱۰ حساسیت و استعداد زیاد به فرسایش را نشان می دهد.

این امتیازات جهت تعیین نمره کلی به هم اضافه شده و نمره کامل بدست می آید، بنابراین تمامی متغیرها از وزن یکسانی جهت امتیاز دهی برخوردار هستند که این نمره های عددی به یک میزان امتیاز بندی توصیفی برای میزان حساسیت کناره ها به فرسایش مربوط می شوند.

۹/۵ - ۵ استعداد فرسایش خیلی کم

۱۰ - ۱۹/۵ استعداد فرسایش کم

۲۰ - ۲۹ استعداد فرسایش معتدل

- ۳۹ - استعداد فرسایش بالا
 ۴۰ - استعداد فرسایش خیلی بالا
 ۷۰ - استعداد فرسایش بیش از حد

نسبت های اندازه گیری و متغیر ها به شرح زیر است:

مطالعه و بررسی نسبت ارتفاع کناره به ارتفاع دبی لبالبی (مقطع پر) (۱۰ تا ۱) به عبارت دیگر ارتفاع کل کناره تقسیم بر ارتفاع کناره پر برای جبران و تعديل اندازه جریان، که نسبت تزدیک به عدد نمره عددی ۱ کم ترین میزان خطر فرسایش برای کناره است.

عمق ریشه (۱۰ تا ۱)

نسبت عمق ریشه به میزان ارتفاع کناره مطالعه شده، به عبارت دیگر عمق غالب حجم ریشه تقسیم بر ارتفاع کناره کل، جهت محاسبه تقریبی انسجام مواد کناره ای توسط پوشش ریشه، اگر توده ریشه به زیر کناره نمی رسد ممکن است تضعیف مواد کناره رخ دهد و باعث این شود که بالای کناره دچار تخریب شود.

وزن تراکم ریشه (به درصد) (۱۰ تا ۱)

نسبت ارزیابی بصری از تراکم ریشه ضرب در عمق ریشه به ارتفاع کنار محاسبه شده به عبارت دیگر تراکم ریشه که به صورت مشاهده ای ارزیابی می شود ضریب عمق ریشه و عدد به دست آمده تقسیم بر ارتفاع کناره محاسبه شده.

وزن بیش تر تراکم ریشه برابر با خطر فرسایش کم تر

زاویه کناره (به درجه) (۱۰ تا ۱)

زاویه کناره ای تندتر و یا شیب کناره بیش تر، خطر تخریب بیش تر توده کناره به دلیل نیروی گرانشی و برشی.

محافظت سطحی کناره (۱۰ تا ۱)

اندازه گیری درصد محافظت سطح کناره که به وسیله چمن، چوب های بزرگ باقی مانده در کناره، آوار و پوشش گیاهی محافظت می شود.

محافظت بیش تر خطر فرسایش کم تری را نشان می دهد.

تنظیم و تعديل طبقه بندی ها

(مواد کناره و چینه بندی)، کمک به در نظر گرفتن متغیرهای فرسایشی اضافی

تعدیل و تنظیم مواد کناره (۱۰ تا -۱۰)

انواع مختلفی از مواد کناره، نرخ های فرسایشی مختلفی دارند بنابراین یک تعدل تقریبی نمره عددی BEHI می تواند مناسب باشد.

به عنوان مثال: کناره های رسی به علت چسبندگی به آهستگی و در زمان طولانی فرسایش پیدا می کنند نسبت به کناره های ماسه ای و شنی.

در این طبقه بندی می توان یک تفاضل فرسایشی برای مواد کناره تنظیم کرد (در مورد مصالح خاص) با اضافه کردن یا کم کردن تا ۱۰ نمره از نمره عددی BEHI

طبقه بندی مواد کناره (۱۰ تا -۱۰)

لایه ها در عمق خاک می توانند باعث ایجاد نقاط ضعف بر روی سطح کناره شوند، لذا اگر طبقه بندی وجود دارد به خصوص در بالاتر از طبقه کناره پر (قطعه پر) تا حدود ۱۰ نمره عددی ممکن است به چنین طبقه بندی به کل نمره یا امتیاز BEHI اضافه شود.

بدست آوردن نمره یا عدد کل

در این مرحله با توجه به ساختار مدل BEHI و شاخص تعریف شده برای این مدل اعداد اندازه گیری شده و به دست آمده را در مدل جای گذاری کرده و با توجه به شش سطح که برای هر یک از پارامترها در این مدل شامل ارتفاع کناره، عمق ریشه، تراکم ریشه به درصد، زاویه کناره، محافظت سطحی و نوع مواد محافظ سطح کناره تعریف شده، اقدام به ارزش دهی به هر کدام از این فاکتورها می کنیم.

این کار طبق جدول تنظیم شده برای این مدل صورت می گیرد که در آن برای هر کدام از پارامترهای اندازه گیری شده یک بازه عددی تعیین شده که در صورت قرار گرفتن هر کدام از پارامترهای اندازه گیری شده در این شش سطح، عدد بدست آمده نشان دهنده میزان تأثیرگذاری آن پارامتر در فرسایش کناره خواهد بود. در نهایت با جمع کردن اعداد بدست آمده از هر پارامتر اندازه گیری شده، اعداد با هم جمع شده و توتال اسکور یا نمره نهایی بدست می آید که نشان دهنده شدت فرسایش کناره طبق مدل BEHI خواهد بود (جدول ۲).

جدول ۲. خلاصه شاخص خطر فرسایش کناره (BEHI) (راسگن، ۱۹۹۶)

راهنمای امتیازدهی خطر فرسایش کناره رودخانه طالقان						
امتیاز کل	حفظات سطحی(%)	زاویه کناره (درجه)	تراکم (ریشه%)	عمق ریشه/ارتفاع کناره	ارتفاع کناره/ارتفاع دبی لبالی	طبقه بندی خطر فرسایش
۸۰-۱۰۰	۰-۲۰	۸۰-۱۰۰	۰/۹-۱	۱-۱/۱	مقدار	خیلی کم
۵-۹/۵	۱-۱/۹	۱-۱/۹	۱-۱/۹	۱-۱/۹	شاخص	
۵۵-۷۹	۲۱-۶۰	۵۵-۷۹	۰/۸۹-۰/۵	۱/۱۱-۱/۱۹	مقدار	
۱۰-۱۹/۵	۲-۳/۹	۲-۳/۹	۲-۳/۹	۲-۳/۹	شاخص	
۳۰-۵۴	۶۱-۸۰	۳۰-۵۴	۰/۱۳-۰/۴۹	۱/۲-۱/۵	مقدار	
۲۰-۲۹/۵	۴-۵/۹	۴-۵/۹	۴-۵/۹	۴-۵/۹	شاخص	
۱۵-۲۹	۸۱-۹۰	۱۵-۲۹	۰/۱۵-۰/۲۹	۱/۶-۲	مقدار	
۳۰-۳۹/۵	۶-۷/۹	۶-۷/۹	۶-۷/۹	۶-۷/۹	شاخص	
۱۰-۱۴	۹۱-۱۱۹	۵-۱۴	۰/۰۵-۰/۱۴	۲/۱-۲/۸	مقدار	
۴۰-۴۵	۸-۹	۸-۹	۸-۹	۸-۹	شاخص	
<۱۰	۱۱۹<	<۵	<۰/۰۵	۲/۸<	مقدار	خیلی زیاد
۴۶-۵۰	۱۰	۱۰	۱۰	۱۰	شاخص	
						شدید

تحلیل آماری

تحلیل واریانس^۱ (ANOVA) به منظور استنتاج معنی داری آماری، تفاوت بین متغیرهای فرسایشی در مدل BEHI بین سه بازه مشخص شده در نرم افزار Spss مورد استفاده قرار گرفت (نصرتی ۱۳۹۲).

نتایج:

در مدل BEHI با در نظر گرفتن چندین متغیر از طریق ارزیابی بصری، نقشه برداری میدانی و آزمایشگاهی، همچنین نسبت های ارزیابی تلاش می شود حساسیت کناره ها نسبت به فرسایش تعیین گردد شکل(۷). همان طور که اشاره شد این مدل توسط راسگن(۲۰۰۱) برای اندازه گیری نرخ فرسایش کناره رودخانه استفاده شده است. در این مطالعه جهت تشخیص خطر فرسایش کناره رودخانه طالقان نسبت به فرسایش از شاخص تعیین خطر فرسایش کناره BEHI استفاده گردید. برای انجام این کار ۳ بازه در بالا دست سد طالقان انتخاب شد و در هر بازه ۲ مقطع با توجه به خطر فرسایش و دسترسی مشخص گردید. سپس جمع آوری داده ها و اندازه گیری اولیه از هر دو کناره در هر ۶ مقطع مشخص شده انجام شد. متغیرهای اندازه گیری شده در برداشت میدانی شامل ارتفاع کناره، ارتفاع دبی لبالی، عمق ریشه، تراکم ریشه، زاویه کناره، و محافظت سطحی می باشد(جدول۳). سپس مقادیر نسبت های تعریف شده در مدل برای هر کدام از کناره های راست و چپ مقاطع محاسبه شده و استفاده از راهنمای شاخص تعیین خطر فرسایش کناره BEHI امتیازات هر کدام از پارامترها تعیین و با جمع امتیازات پارامترها میزان خطر فرسایش کناره تعیین گردید (جدول۴).

¹ BVKM

² Analysis of variance



شکل ۷: تصویر نمونه برداری، کار میدانی و آزمایشگاهی

جدول ۳: متغیرهای اندازه گیری شده برای مقاطع مورد مطالعه رودخانه طالقان بر اساس شاخص BEHI

محافظت سطحی (%)	زاویه کناره (درجه)		تراکم ریشه (%)		عمق ریشه (متر)		ارتفاع دبی لبالی (متر)		ارتفاع کناره (متر)		مقاطع بازه	
	L	R	L	R	L	R	L	R	L	R		
۴۰	۳۰	۶۳	۳۳	۵۰	۲۵	۹۵	۲۰	۱۲۵	۱۲۵	۱۵۵	۱۴۵	۱
۴۰	۱۰	۵۷	۱۰	۲۵	۱۰	۸۰	۱۳۰	۱۲۸	۱۲۸	۱۵۰	۲۰۰	۲
۴۰	۵۰	۷۳	۵۸	۳۰	۵۰	۲۰	۱۲۰	۱۱۸	۱۱۸	۸۵	۱۹۰	۳
۱۰	۳۰	۱۱	۱۷	۵	۲۵	۳۰	۱۰	۶۲	۶۲	۱۰۰	۵۰	۴
۲۰	۵۰	۱۱	۳۹	۲۵	۵۰	۶۰	۹۰	۱۴۰	۱۴۰	۱۵۰	۲۱۰	۵
۳۰	۲۵	۵۷	۶۰	۳۰	۴۰	۲۰	۵۰	۱۱۵	۱۱۵	۲۰۰	۲۲۰	۶
L=کناره راست R=کناره چپ												

سپس با استفاده از تحلیل واریانس (ANOVA) میزان معنی داری و تاثیرگذاری متغیرهای مورد استفاده در مدل BEHI به دست آمد. با توجه به امتیاز BEHI به دست آمده از بازه اول و دوم در هر دو مقطع مورد نظر فرسایش کناره در کناره راست زیاد بوده و در کناره چپ متوسط است. از دلایل مقاومت بیشتر کرانه چپ نسبت به کرانه راست در این دو مقطع تراکم ریشه و پوشش گیاهی بالای این سمت از کرانه می باشد. در بازه دوم کناره راست در هر دو مقطع میزان فرسایش متوسط را نشان می دهد، اما در کناره چپ مقطع سه و چهار خطر فرسایش زیاد و

خیلی زیاد می باشد. از دلایل مقاومت بیشتر کناره راست در این بازه نیز بالابودن محافظت سطحی و تراکم ریشه نسبت به کرانه چپ می باشد(شکل ۸).



شکل ۸: تصویر بازه شماره ۲ شرایط کرانه چپ و راست در این بازه

در بازه سوم که در پایین دست حوضه قرار دارد در مقطع اول در کناره راست میزان فرسایش کناره با توجه به امتیاز BEHI زیاد و در کناره چپ متوسط می باشد و در مقطع دوم آن با توجه به کاهش شیب و دبی زیاد و پوشش گیاهی ضعیف و نبود محافظت سطحی و ریشه در کناره ها میزان فرسایش خیلی زیاد است. در ادامه جهت تعیین پارامتر تاثیرگذار در فرسایش کناره ای در مدل BEHI در رودخانه طالقان از تحلیل واریانس (ANOVA) استفاده شد و نتایج نشان داد که میزان (F) یا تاثیرگذاری شیب و دبی از بقیه پارامترها بیشتر بوده است و پارامتر های شیب، دبی، ارتفاع کناره و عمق متوسط در دبی لبالبی در تحلیل واریانس (ANOVA) معنی دار شده اند (جدول ۵).

جدول ۴. نتایج کلی رده بندی خطر فرسایش کناره (BEHI) در کناره راست و چپ مقاطع مورد مطالعه

قطع عرضی	BEHI امتیاز	خطر فرسایش کناره راست	BEHI امتیاز	خطر فرسایش کناره چپ
۱	۳۷/۲	زیاد	۲۶/۲	متوسط
۲	۳۳/۳	زیاد	۲۲/۶	متوسط
۳	۲۶/۸	متوسط	۳۳/۱	زیاد
۴	۲۷	متوسط	۴۱/۴	خیلی زیاد
۵	۳۲	زیاد	۲۶/۵	متوسط
۶	۴۲/۸	خیلی زیاد	۴۰/۷	خیلی زیاد

جدول ۵: نتایج واریانس یک طرفه (ANOVA)

متغیر	بازه	تعداد	میانگین	انحراف معیار	خطای استاندارد	F	معنی داری
امتیاز BEHI	۱	۴	۲۹/۸	۶/۶	۳/۳	۰/۶۵	۰/۵۴
	۲	۴	۳۲/۱	۶/۹	۳/۴		
	۳	۴	۳۵/۵	۷/۶	۳/۸		
دبی	۱	۴	۱۱	۴/۲	۲/۱	۵/۵	۰/۰۲
	۲	۴	۱۲/۵	۱/۱	۰/۵		
	۳	۴	۱۶/۸	۰/۷	۰/۳		
شیب	۱	۴	۰/۰۲۶	۰/۰۰۲	۰/۰۰۱	۴۵/۶	۰/۰۰۱
	۲	۴	۰/۰۲	۰/۰۰۱	۰/۰۰۰۵		
	۳	۴	۰/۰۱۶	۰/۰۰۰۱	۰/۰۰۰۱		
محافظت سطحی	۱	۴	۳۰	۱۴/۱	۷/۱	۰/۰۲	۰/۹۷
	۲	۴	۳۲/۵	۱۷/۱	۸/۵		
	۳	۴	۳۱/۲	۱۳/۱	۶/۶		
زاویه کناره	۱	۴	۴۰/۷	۲۴/۲	۱۲/۱	۰/۰۶	۰/۹۹
	۲	۴	۳۹/۷	۳۰/۴	۱۵/۲		
	۳	۴	۴۱/۷	۲۲/۵	۱۱/۲		
ارتفاع کناره	۱	۴	۱۶۲/۵	۲۵/۳	۱۲/۶	۴/۶	۰/۰۴
	۲	۴	۱۰۶/۲	۵۹/۶	۲۹/۸		
	۳	۴	۱۹۵	۳۱/۱	۱۵/۵		
عرض دبی لبالی	۱	۴	۲۰/۲	۷/۳	۳/۶	۲/۳	۰/۱۵
	۲	۴	۲۷	۳/۴	۱/۷		
	۳	۴	۲۶/۵	۲/۸	۱/۴		
تراکم ریشه	۱	۴	۲۷/۵	۱۶/۵	۸/۲	۰/۴	۰/۶۷
	۲	۴	۲۷/۵	۱۸/۴	۹/۲		
	۳	۴	۲۶/۲	۱۱	۵/۵		
ارتفاع ریشه	۱	۴	۸۱/۲	۴۵/۸۹	۲۲/۹۴	۰/۷	۰/۴۹
	۲	۴	۴۵	۵۰/۶۶	۲۵/۳۳		
	۳	۴	۵۵	۲۸/۸۶	۱۴/۴۳		
عمق دبی لبالی	۱	۴	۱۲۶/۵	۱/۷	۰/۸	۴/۳	۰/۰۴
	۲	۴	۹۰	۳۲	۱۶/۲		
	۳	۴	۱۲۷/۵	۱۴	۱۷/۲		
شن	۱	۴	۷۲۱/۲	۴۴/۸	۲۲/۴	۰/۴	۰/۶۵
	۲	۴	۶۵۶/۲	۱۴۵/۲	۷۲/۶		
	۳	۴	۷۳۵	۱۵۸/۶	۷۹/۳		
سیلت	۱	۴	۱۴۳/۷	۴۷/۳	۲۳/۶	۰/۷	۰/۵۰
	۲	۴	۱۵۶/۲	۹۸/۷	۴۹/۳		
	۳	۴	۹۵	۷۰/۷	۳۵/۳		
رس	۱	۴	۱۳۵	۲۵/۸	۱۲/۹	۰/۵	۰/۵۹
	۲	۴	۱۹۵	۶۰	۳۰		
	۳	۴	۱۷۰	۱۲۵	۶۲		

نتیجه گیری

با توجه به جمع آوری داده ها از ۳ بازه که هر بازه شامل ۲ مقطع می باشد، امتیازدهی به شاخص های مدل خطر فرسایش کناره انجام گرفت که نتایج آن در جدول (۳) نشان داده شده است. نتایج به دست آمده از این مدل با توجه به جدول (۴) خطر فرسایش کناره ای در هر ۶ مقطع در هر دو کناره راست و چپ وجود دارد. به طوری که در مقاطع ۳ و ۲۱ که در بالادست واقع شده اند فرسایش کناره ها کمتر بوده و با توجه به امتیاز شاخص BEHI در طبقه متوسط تا زیاد قرار گرفته اند اما در مقاطع ۵، ۶ و ۲۰ که در پایین دست قرار گرفته اند فرسایش کناره بیشتر بوده و از متوسط تا خیلی زیاد می باشد. نتایج نشان می دهد فرسایش کناره از بالادست به طرف پایین افزایش پیدا می کند. و از دلایل اختلاف فرسایش در دو کناره رودخانه طالقان میزان عمق ریشه، تراکم ریشه و قرار گرفتن در قسمت محدب و یا مقعر رودخانه را می توان نام برد اما به صورت کلی افزایش فرسایش کناره ای از بالا دست به سمت پایین دست رودخانه طالقان تحت تاثیر کاهش شبیب رودخانه، افزایش دبی و میزان ارتفاع کناره می باشد. با توجه به نتایج به دست آمده از تحلیل واریانس (ANOVA) میزان (F) یا تاثیرگذاری پارامترهای شبیب و دبی بالاتر از بقیه پارامترها بوده و پارامترهای معنی دار در این تحلیل شامل عمق متوسط در دبی لبالی، ارتفاع کناره، دبی و شبیب می باشد. نتایج به دست آمده از این پژوهش با نتایج به دست آمده از روش NBS که توسط (نصرتی و همکاران ۱۳۹۷) بر روی همین رودخانه انجام گرفته است مقایسه گردید که نتایج به دست آمده با هم مطابقت داشت. همچنین نتایج به دست آمده با نتایج به دست آمده از پژوهشی که حسین زاده و همکاران در سال ۱۳۹۶ با مدل BEHI و NBS بر روی رودخانه قرانقو چای هشت رود انجام داده بودند نیز مقایسه گردید که نتایج به دست آمده نشان از کارایی این مدل در رودخانه های ایران را دارند.

منابع

- حسینزاده محمد مهدی، خالقی سمیه، واحدی فر فراز (۱۳۹۶)، مقایسه و ارزیابی نتایج مدل NBS و BEHI در فرسایش کناره ای رودخانه قرانقو چای هشت روود، جغرافیا و مخاطرات محیطی دانشگاه مشهد، سال ۶، شماره ۲۴، صص ۶۲-۴۱
- حسینزاده محمد مهدی، خالقی سمیه، رستمی میلاد (۱۳۹۶)، مقایسه روش های برآورد خطر فرسایش کرانه ای با استفاده از مدل NBS (مطالعه موردی: رودخانه گلالی قروه). مجله مخاطرات محیطی دوره ششم، شماره ۱۴، صص ۱۴۱-۱۵۱
- نصرتی کاظم (۱۳۹۲)، روش های کاربردی در پژوهش علمی، جها دانشگاهی واحد شهید بهشتی صص ۵۲-۴۷
- نصرتی کاظم، رستمی میلاد، آذرپار محمود، اطمینان زهره (۱۳۹۷)، بررسی فرسایش کناره ای رودخانه طالقان با استفاده از شاخص های NBS نشمنی همایش ملی انجمن ایرانی ژئومورفولوژی صص ۸۱-۸۵
- خالقی، سمیه و لیلا ملکانی (۱۳۹۴)، برآورد فرسایش کرانه رودخانه لیقوان چای با استفاده از شاخص تنش برشی نزدیک کرانه های راسگن، کنگره بینالمللی جغرافیا و توسعه پایدار، تهران
- اصغری سراسکارود، صیاد، زینالی، بتول (۱۳۹۲)، بررسی مقاومت ذرات رسوبی در برابر فرسایش رودخانه سراسکند چای هشت روود با استفاده از روش های ریاضی، پژوهش های فرسایش محیطی، شماره ۱۲، صص ۴۲-۳۰
- روستایی، شهرام؛ خورشید دوست، علیمحمد و سمیه خالقی (۱۳۹۲)، ارزیابی مورفو لوژی مجرای رودخانه لیقوان با روش طبقه بندی راسگن، پژوهش های ژئومورفولوژی کمی، شماره ۴، صص ۱۱-۱۶
- فاطمی عقدا، محمود؛ فیاضی، فرجاله و داریوش علیپور (۱۳۸۰)، بررسی زمینشناسی مهندسی بخشی از رودخانه کرخه (روستای عبدالخان تا روستای الهایی) نشریه علوم دانشگاه تربیت معلم، جلد ۱، شماره ۶ و ۳، صص ۱۶۳-۱۷۹.

- Abad, J.D. and Garcia, M.H., (2006), RVR Meander: A toolbox for re-meandering of channelized streams, Computers and Geosciences, 32(1), 92-101.
- Bartholdy, J., P. Billi, (2002), Morphodynamics of Pseudomeandering Fluvial Bar Reach, Geomorphology, 42, 293-3104.
- Bernhardt, E.S., Palmer, M.A., Allan, J.D., Alexander, G., Barnas, K., Brooks, S., Carr, J., Clayton, S., Dahm, C., Follstad Shah, J., Galat, D., Gloss, S., Oodwin, P., Hart, D., Hassett, B., Jenkinson, R., Katz, S., Kondolf, G. M., Lake, P. S., Lave, R., Meyer, J. L., O'Donnell, T. K., Pagano, L., Powell, B. and Sudduth, E., (2005), Synthesizing U.S. River Restoration Efforts, Science, 308, 636-637.
- Bigham, K.A., (2016), Evaluation and application of the Bank Assessment for Non-Point Source Consequences of Sediment (BANCS) model developed to predict annual streambank erosion rates (Doctoral dissertation, Kansas State University).
- Coryat, M., (2014), Analysis of the Bank assessment for non-point source consequences of sediment (BANCS) Approach for the prediction of streambank stability and erosion along Stony Clove Creek in the Catskills.
- Fuller, I.C., Large, A.R. and Milan, D.J., (2003), Quantifying channel development and sediment transfer following chute cutoff in a wandering gravel-bed river, Geomorphology, 54(3-4), 307-323.
- Ghosh, K.G., Pal, S., Mukhopadhyay, S., (2016), Validation of BANCS model for assessing stream bank erosion hazard potential (SBEHP) in Bakreshwar River of Rarh region, Eastern India. Modeling Earth Systems and Environment, 2(2), 1-15.
- Greenbaum, N. and Bergman, N., (2006), Formation and evacuation of a large gravel-bar deposited during a major flood in a Mediterranean ephemeral stream, Nahal Me'arot, NW Israel, Geomorphology, 77(1-2), 169-186.
- Gregory, K.J., (2006), The human role in changing river channels, Journal of Geomorphology, 79, 172-191.
- Kwan, H., Swanson, S., (2014), The prediction of annual stream bank erosion for Sequoia National Forest, California. Journal of the American Water Resources Association, 50(6), 1439-1447.
- Rosgen, D.L., (2001), A Stream Channel Stability Assessment Methodology, Proceedings of the Seventh Federal Interagency Sedimentation Conference.
- Wilson, C.G., Kuhnle, R.A., Bosch, D.D., Steiner, J.L., Starks, P., Tomer, M.D. and Wilson, G.V., (2008), Quantifying relative contributions from sediment sources in Conservation Effects Assessment Project watersheds, Journal of Soil and Water Conservation, 63(6), 523-532.

پرستال جامع علوم انسانی
پژوهشکاران علوم انسانی و مطالعات فرهنگی

Research Article

Estimation of Taleghan river bank erosion risk using BEHI model

Kazem Nosrati^{1*}, Milad Rostami², Mahmood Azarpar Kivi³

1*. Associate Professor, Department of Physical Geography, Faculty of Earth Sciences, Shahid Beheshti University, Tehran, Iran.

2. PhD Candidate, Department of Physical Geography, Faculty of Earth Sciences, Shahid Beheshti University, Tehran, Iran.

3. MSc Candidate, Department of Physical Geography, Faculty of Earth Sciences, Shahid Beheshti University, Tehran, Iran.

Received: 04-12-2019

Final Revised: 19-04-2020

Accepted: 06-05-2020

Abstract

Rivers provide water and energy for nature and humans. Thus, water supply is the most important economic role of rivers. The process of erosion sediment transportation is one of the most important hydrodynamic processes which affect a lot of hydraulic systems such as basins, rivers, coasts and harbors, dams, bridges, farms, and construction facilities. Taleghan River is a major river located on the south hillside of Alborz. The river has dynamic behavior affected by various factors including geology, gradient, land use, hydraulic flow condition, and morphological behavior. Analyzing the stability of Taleghan river bank using mathematical and statistical models and comparing its results with field observations is the aim of this research. Therefore, to achieve this aim BEHI model and statistical one-way analysis of variance (ANOVA) is used and then compared with field and visual observations. The results concerning scoring show moderate to high danger of riverbank erosion in upstream sections and high to very high danger of riverbank erosion in downstream sections. According to the results of one-way analysis of variance (ANOVA), the effects of gradient and discharge have been more than the other parameters. In this analysis, the meaningful parameters consist of mean depth; bank full, riverbank high, discharge, and gradient. According to the results, erodible edges were identified.

Keywords: Riverbank erosion, BEHI model, one-way analysis of variance, Taleghan river.

* Corresponding Author Email: k_nosrati@sbu.ac.ir

References

References (in Persian)

- Asghari, S., Zeinali, B., (2014), Investigation Resistance of Sediment Particle to Erosion in Saraskanchai River by Use of Mathematical Methods, Environmental Erosion Research Journal, 3 (4), 30-42. [In Persian]
- Fatemi-Aghda, S.M., Fayazi, F.A., Alipour, D., (2002) Investigation on the engineering geology part of Karkheh from Abdol-Khan to Elhay village, Journal of Science (Kharazmi University), 1(3-4), 163-178. [In Persian]
- Hosseinzadeh, M.M., Khaleghi, S., Roetami, M., 2018. Comparison of Stream Bank Erosion Hazard Methods Using NBS Model (Case Study: Galali River, Ghorveh), Journal of Natural Environmental Hazards, v. 6 (14), p. 141-151. [In Persian]
- Hosseinzadeh, M.M., Khaleghi, S., Vahedifar, F., 2018. Comparison and Evaluation of NBS and BEHI Models' Results in Bank Erosion of Hashtroud Qarango Chai River, Geography and Environmental Hazards, v. 6 (24), p. 41-62. [In Persian]
- Khaleghi, S., Malekani, L., (2015), Estimation of bank erosion in Lighwan-Chai River using shear stress index adjacent to Rasgen bank, International Congress of Geography and Sustainable Development, Tehran, Iran. [In Persian]
- Nosrati, K., 2013, Applied Methods in Scientific Research, Publication of Iranian Academic Center for Education, Culture and Research, p.47-52. [In Persian]
- Nosrati, K., Roetami, M., Azarpas, M., 2018. Analysis of Taleghan river bank erosion using indexes of NBS model, Sixth National Conference of Iranian Association of Geomorphology, p.81-85.[In Persian]
- Shahram, R., Khorshid-Doost, A.M., Khaleghi, S., (2013), Morphology assessment of river channel in Lighwan River using Rasgen classification method, Quantitative Geomorphological Research, 4, 1-16.[In Persian]

References (in English)

- Abad, J.D. and Garcia, M.H., (2006), RVR Meander: A toolbox for re-meandering of channelized streams, Computers, and Geosciences, 32(1), 92-101.
- Bartholdy, J., P. Billi, (2002), Morphodynamics of Pseudomeandering Fluvial Bar Reach, Geomorphology, 42, 293-3104.
- Bernhardt, E.S., Palmer, M.A., Allan, J.D., Alexander, G., Barnas, K., Brooks, S., Carr, J., Clayton, S., Dahm, C., Follstad-Shah, J., Galat, D., Gloss, S., Oodwin, P., Hart, D., Hassett, B., Jenkinson, R., Katz, S., Kondolf, G. M., Lake, P. S., Lave, R., Meyer, J. L., O'Donnell, T. K., Pagano, L., Powell, B. and Sudduth, E., (2005), Synthesizing U.S. River Restoration Efforts, Science, 308, 636-637.
- Bigham, K.A., (2016), Evaluation and application of the Bank Assessment for Non-Point Source Consequences of Sediment (BANCS) model developed to predict annual streambank erosion rates (Doctoral dissertation, Kansas State University.)
- Coryat, M., (2014), Analysis of the Bank assessment for non-point source consequences of sediment (BANCS) Approach for the prediction of streambank stability and erosion along Stony Clove Creek in the Catskills.
- Fuller, I.C., Large, A.R. and Milan, D.J., (2003), Quantifying channel development and sediment transfer following chute cutoff in a wandering gravel-bed river, Geomorphology, 54(3-4), 307-323.
- Ghosh, K.G., Pal, S., Mukhopadhyay, S., (2016), Validation of BANCS model for assessing stream bank erosion hazard potential (SBEHP) in Bakreshwar River of Rarh region, Eastern India. Modeling Earth Systems and Environment, 2(2), 1-15.
- Greenbaum, N. and Bergman, N., (2006), Formation and evacuation of a large gravel-bar deposited during a major flood in a Mediterranean ephemeral stream, Nahal Me'arot, NW Israel, Geomorphology, 77(1-2), 169-186 .
- Gregory, K.J., (2006), The human role in changing river channels, Journal of Geomorphology, 79, 172-191.
- Kwan, H., Swanson, S., (2014), The prediction of annual stream bank erosion for Sequoia National Forest, California.Journal of the American Water Resources Association, 50(6), 1439–1447.
- Rosgen, D.L., (2001), A Stream Channel Stability Assessment Methodology, Proceedings of the Seventh Federal Interagency Sedimentation Conference.
- Wilson, C.G., Kuhnle, R.A., Bosch, D.D., Steiner, J.L., Starks, P., Tomer, M.D. and Wilson, G.V., (2008), Quantifying relative contributions from sediment sources in Conservation Effects Assessment Project watersheds, Journal of Soil and Water Conservation, 63(6), 523-532.